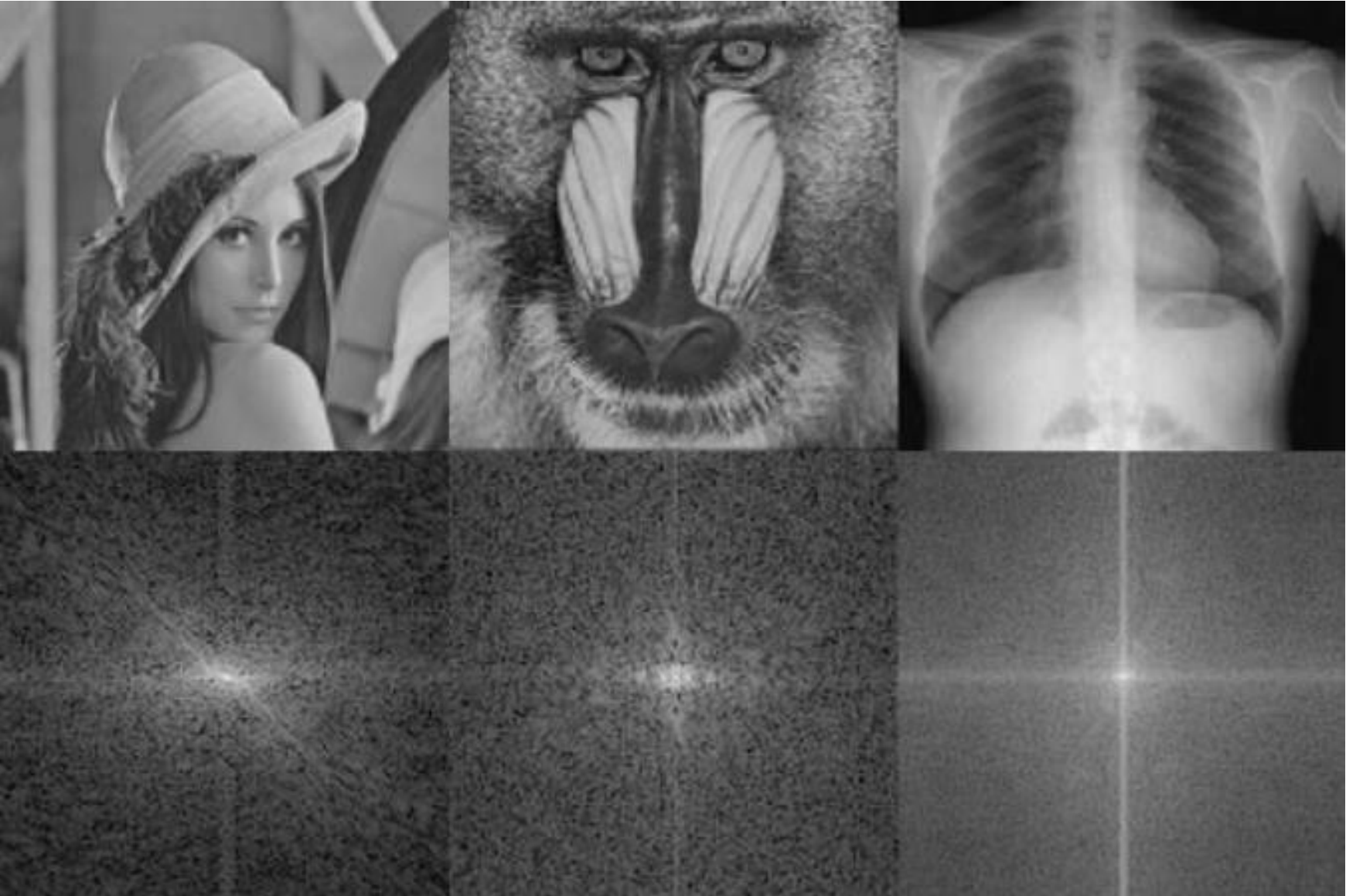


Tópico 06: Filtragem na frequência – (Processamento na frequência)

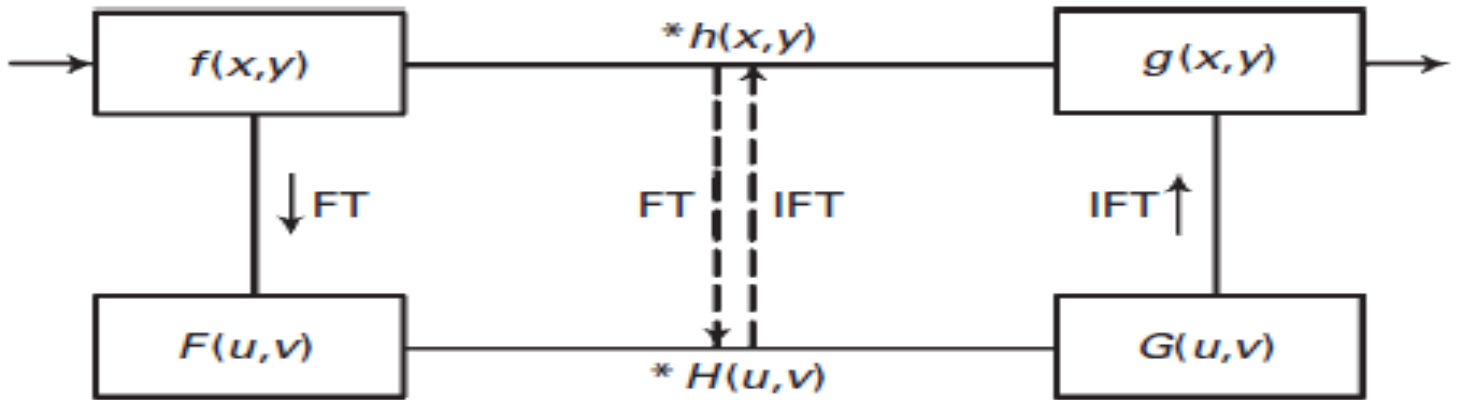
Prof. Dr. Matheus Cardoso Moraes

Contexto



Filtragem no domínio da Frequência

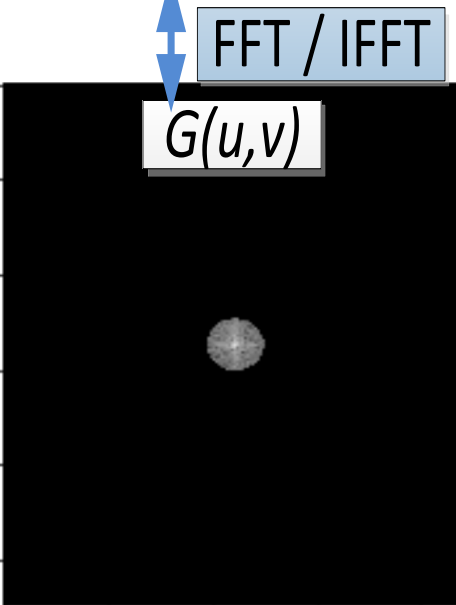
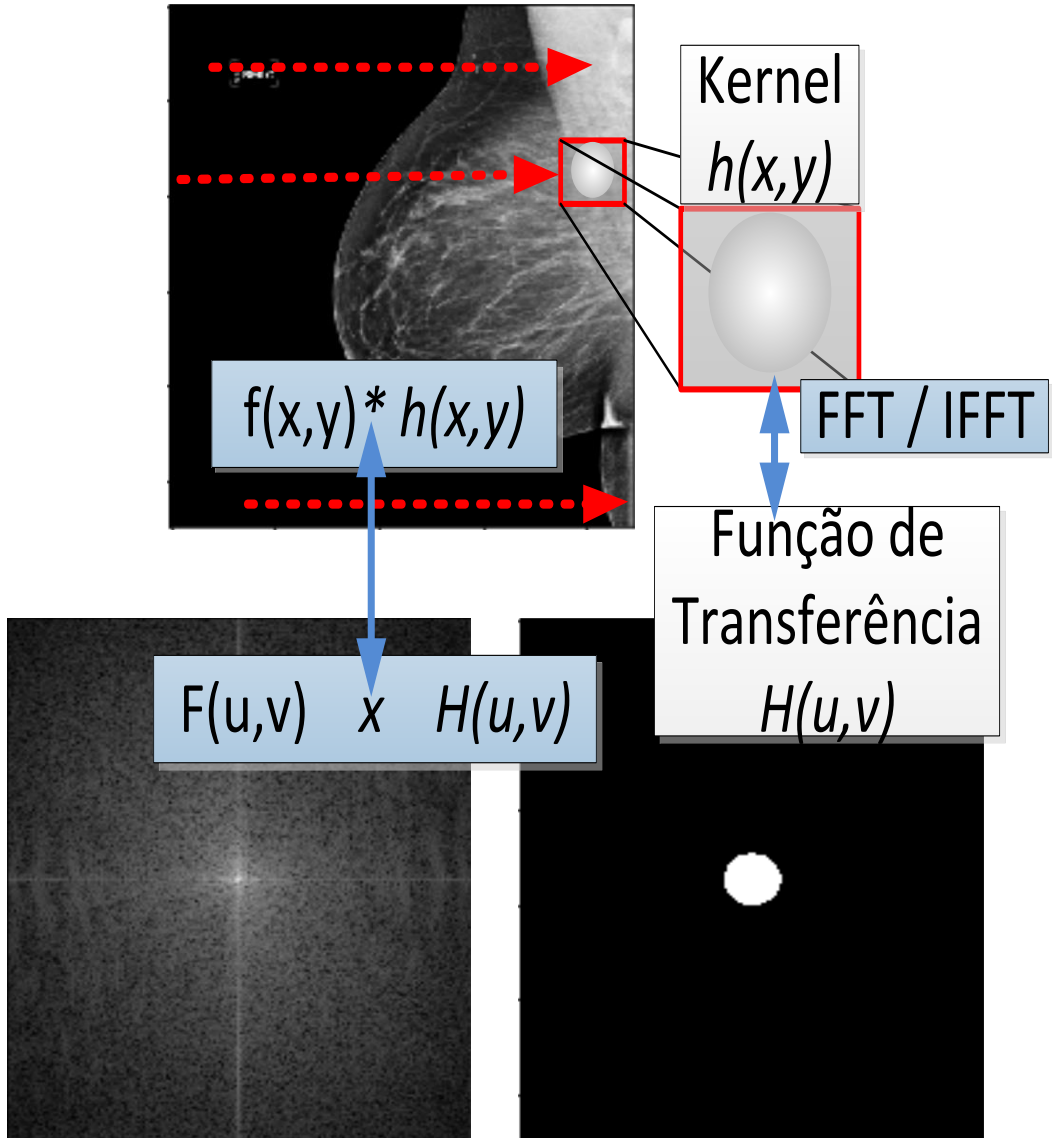
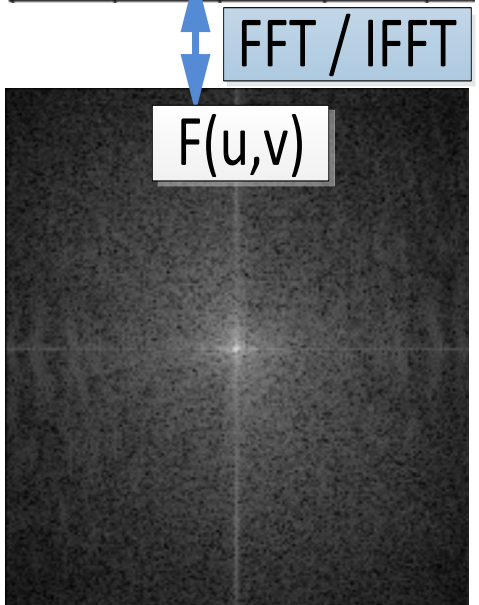
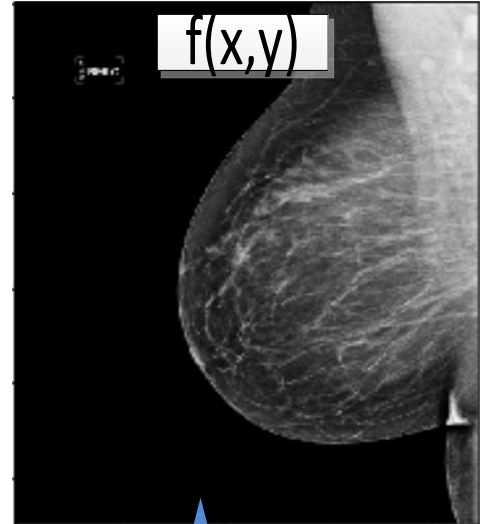
Correspondência tempo/espaco com frequencia



$$f(x, y) * h(x, y) \leftrightarrow F(u, v)H(u, v)$$

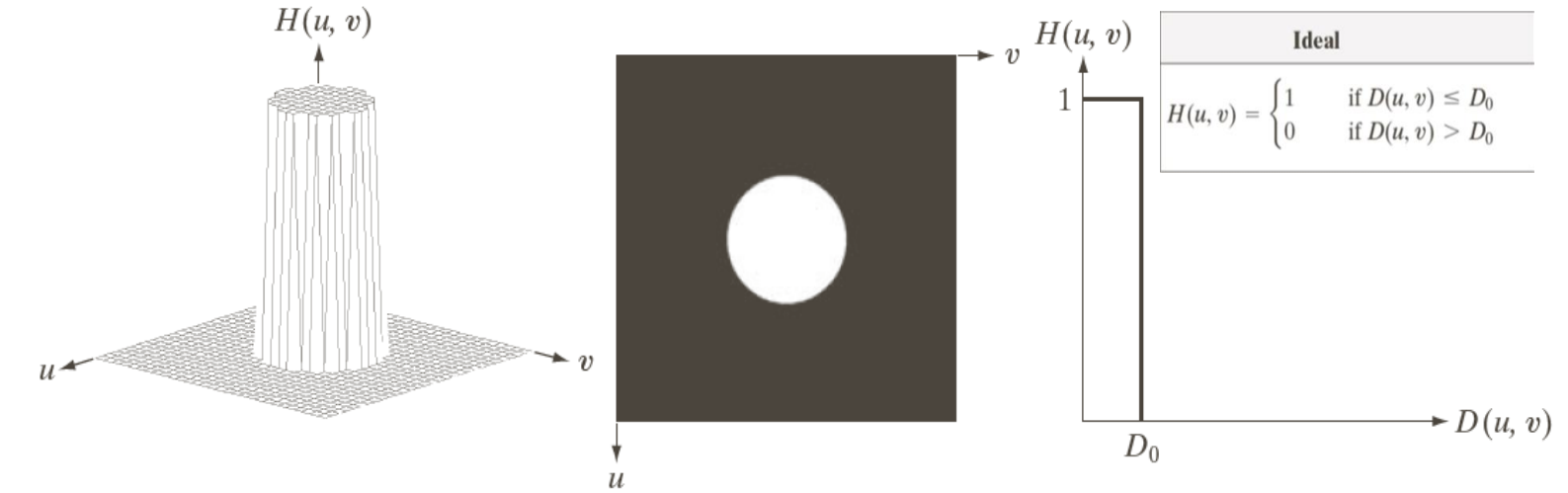
$$f(x, y)h(x, y) \leftrightarrow F(u, v) * H(u, v)$$

Equivalência de Filtragem Espaço e Frequência



Filtro 2D ideal

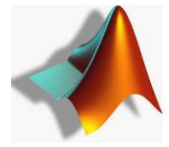
- Banda passante plana.
- Queda acentuada na frequência de corte *Do*.
- **Como calcular *Do*? Explicar, tamanho da imagem e *fc*.**
- *D* distância em relação ao centro.



a b c

FIGURE 4.40 (a) Perspective plot of an ideal filter as an image.
(c) Filter radial cross section.

```
function HIdeal = FazerMascaraIdeal2D(M, N, fc)
H_Ideal = zeros(M,N);
Do=fc*(M/2);
for l = 1:M
    for c=1:N
        distx = c - (M/2);
        disty = l - (N/2);
        D = sqrt(distx.^2 + disty.^2);
        if (D<=Do)
            H_Ideal(l,c)=1;
        end
    end
end
```



ed as an image.

Função Mascara Ideal#####
def fazerMascaraIdeal2D(M, N, fc):
importar bibliotecas

import numpy as np
import matplotlib.pyplot as plt
import cv2 # OpenCV
import skimage
import skimage.exposure
import scipy.signal

H_Ideal = np.zeros((M,N) , complex)

Do=fc*(M/2)
for l in range(M):
 for c in range(N):
 distx = c - (N/2)
 disty = l - (M/2)
 D = np.math.sqrt(distx**2 + disty**2)
 if D<=Do:
 H_Ideal[l,c] = 1 + 0j

return H_Ideal

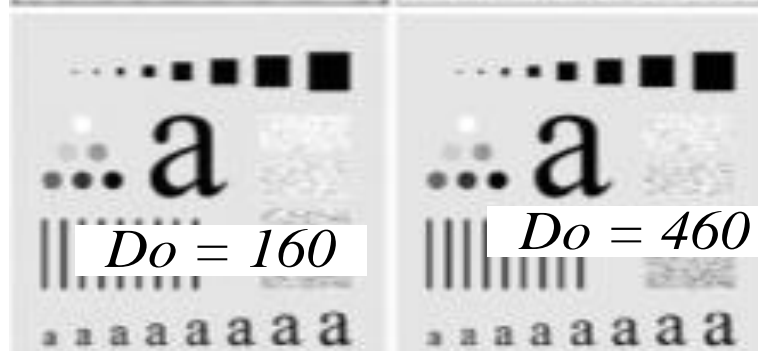
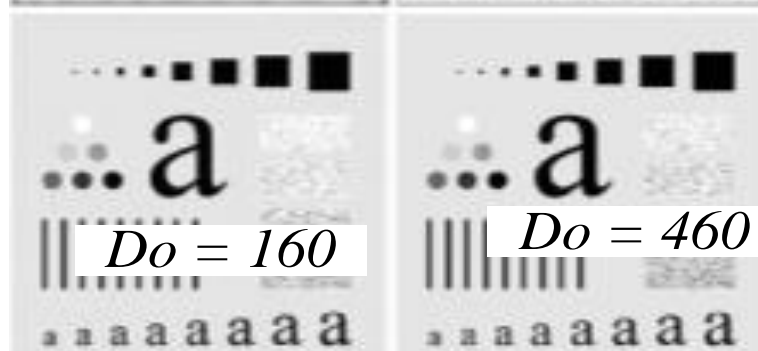
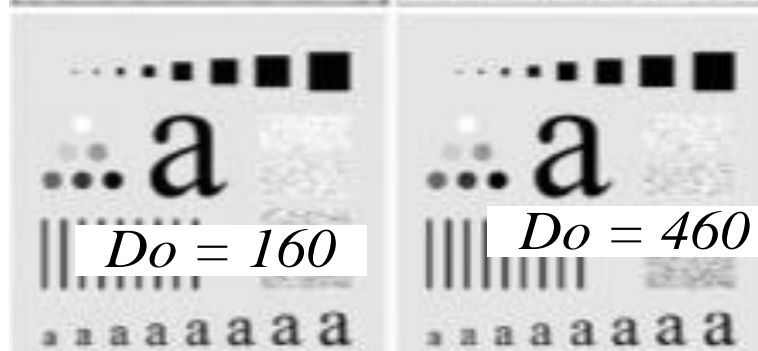
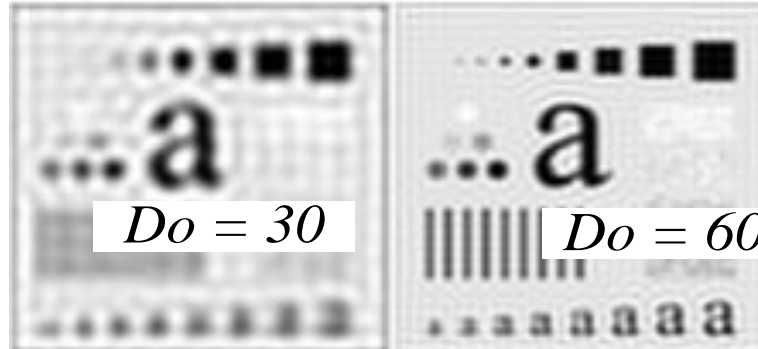
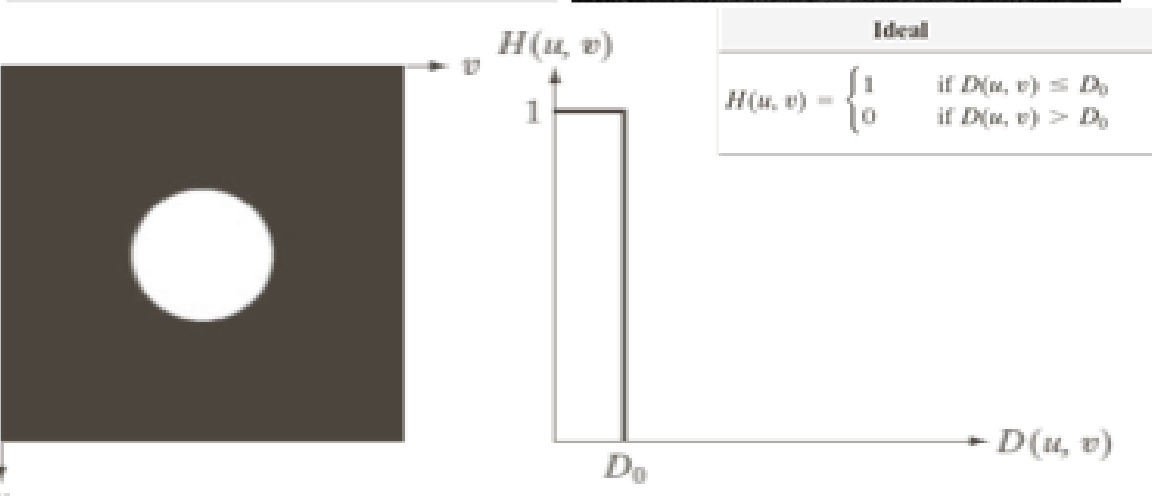
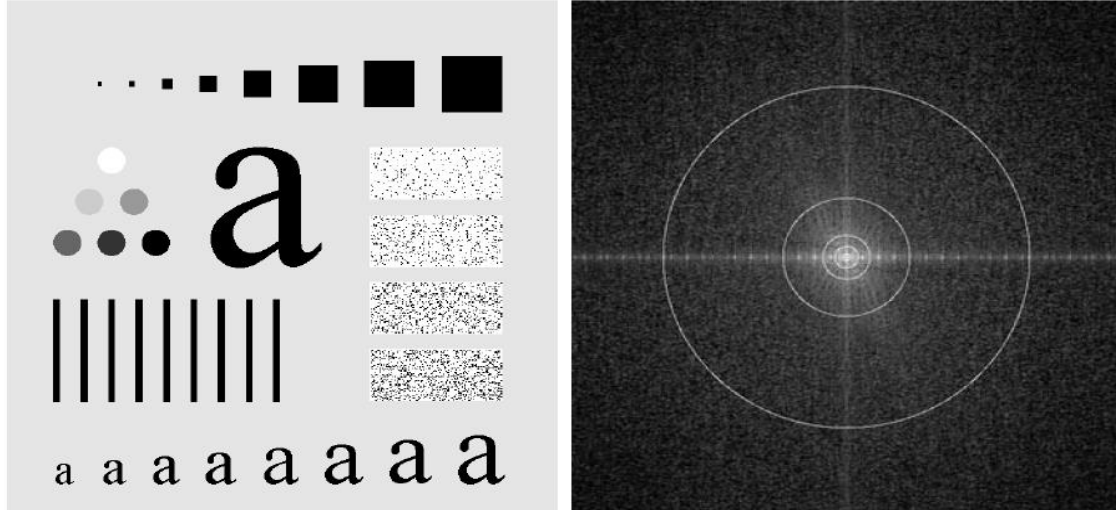


Filtragem 2D com filtro ideal

Frequência de Corte (Passa Baixa) é o raio do filtro

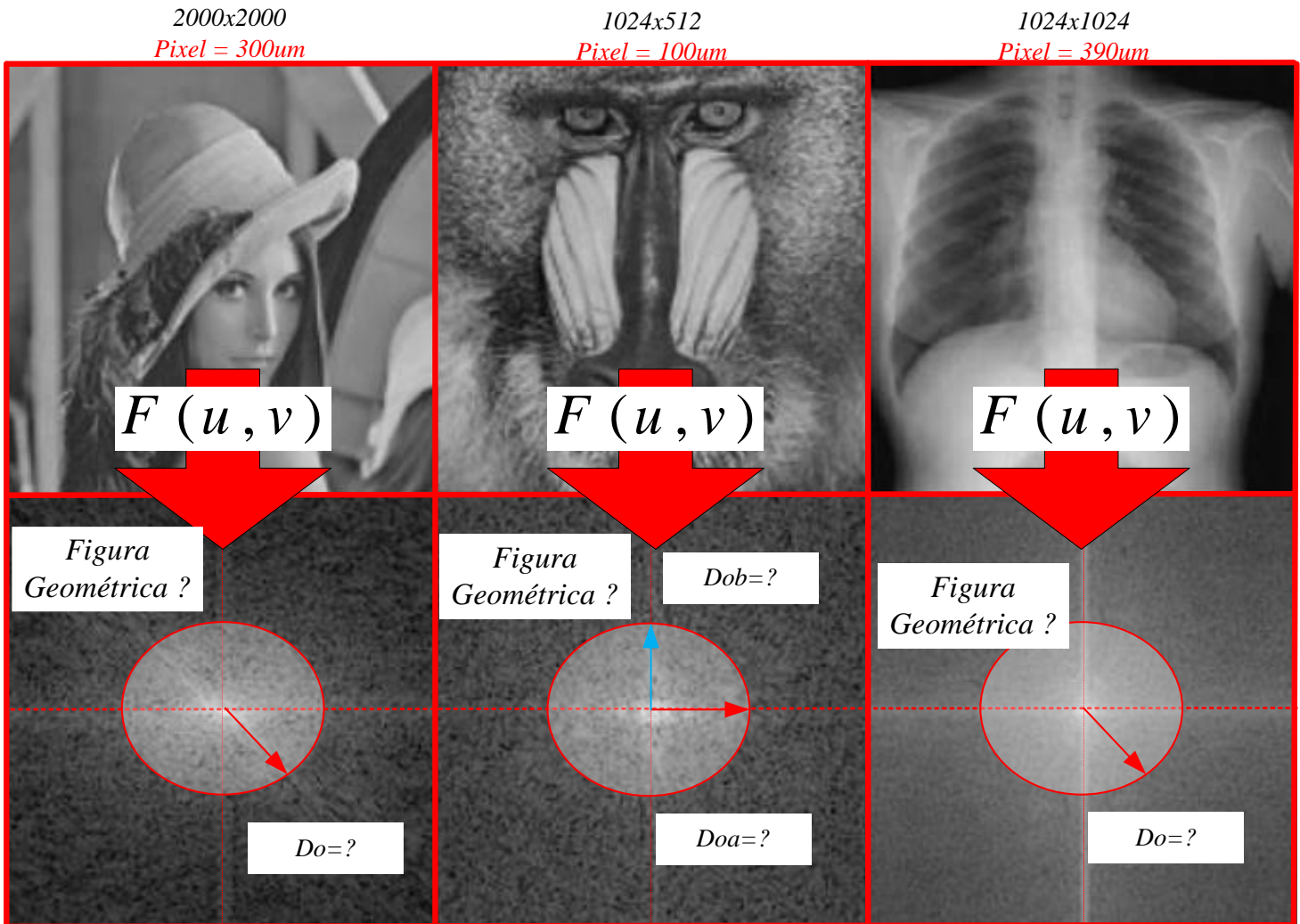
Normalizada $\rightarrow f_c = 0,1; 0,2; \dots, 0,9$ da frequência máxima

Em termos de pixels $D_o = f_c \cdot (\text{raiomax})$



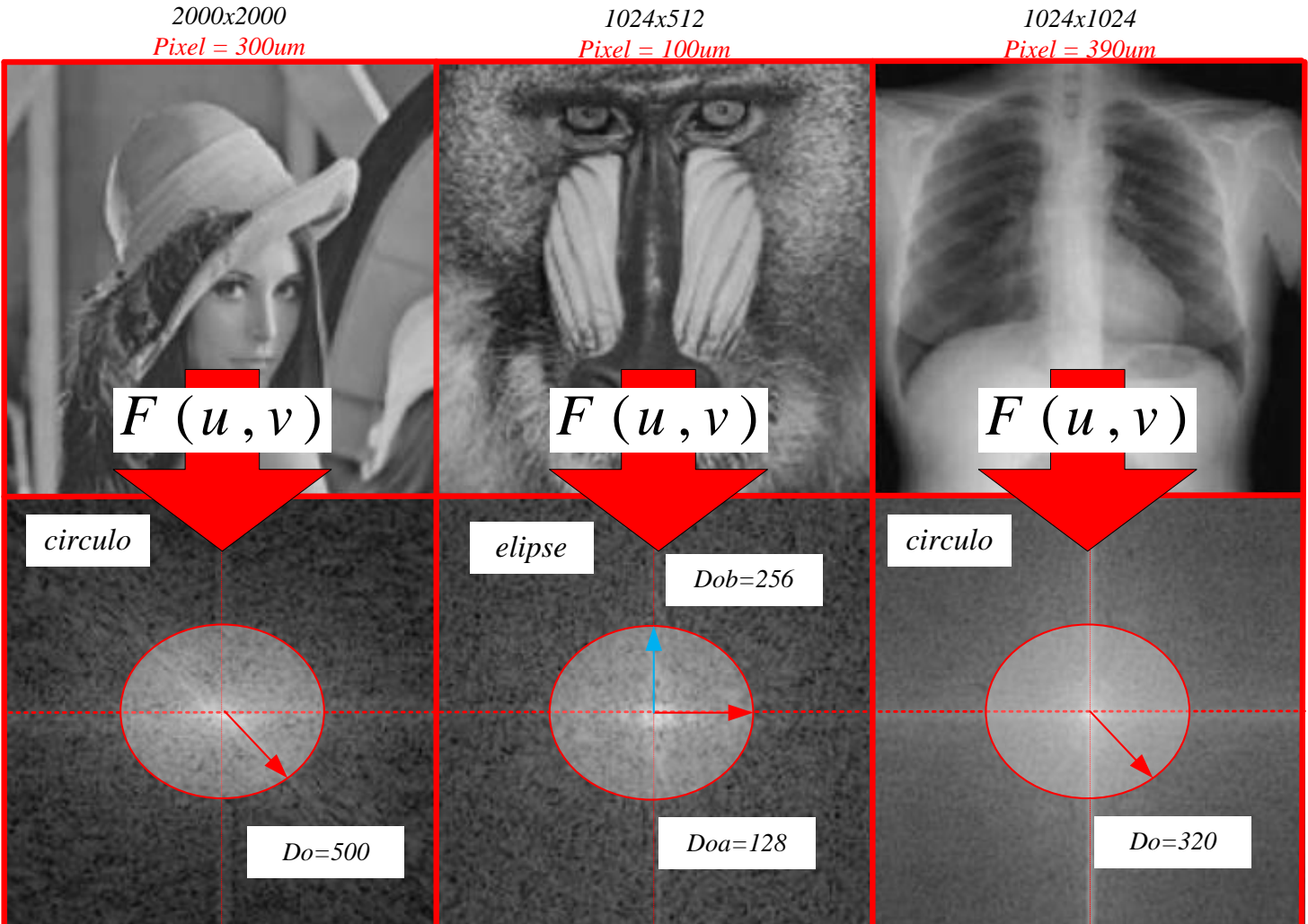
Filtragem 2D com filtro ideal -frequênci a de corte

Para as imagens abaixo, calcule o formato e o Do para que seja filtrado todas as frequências acima de 50% da máxima. **Passa baixa** com $f_c = 0,5f_{máx}$



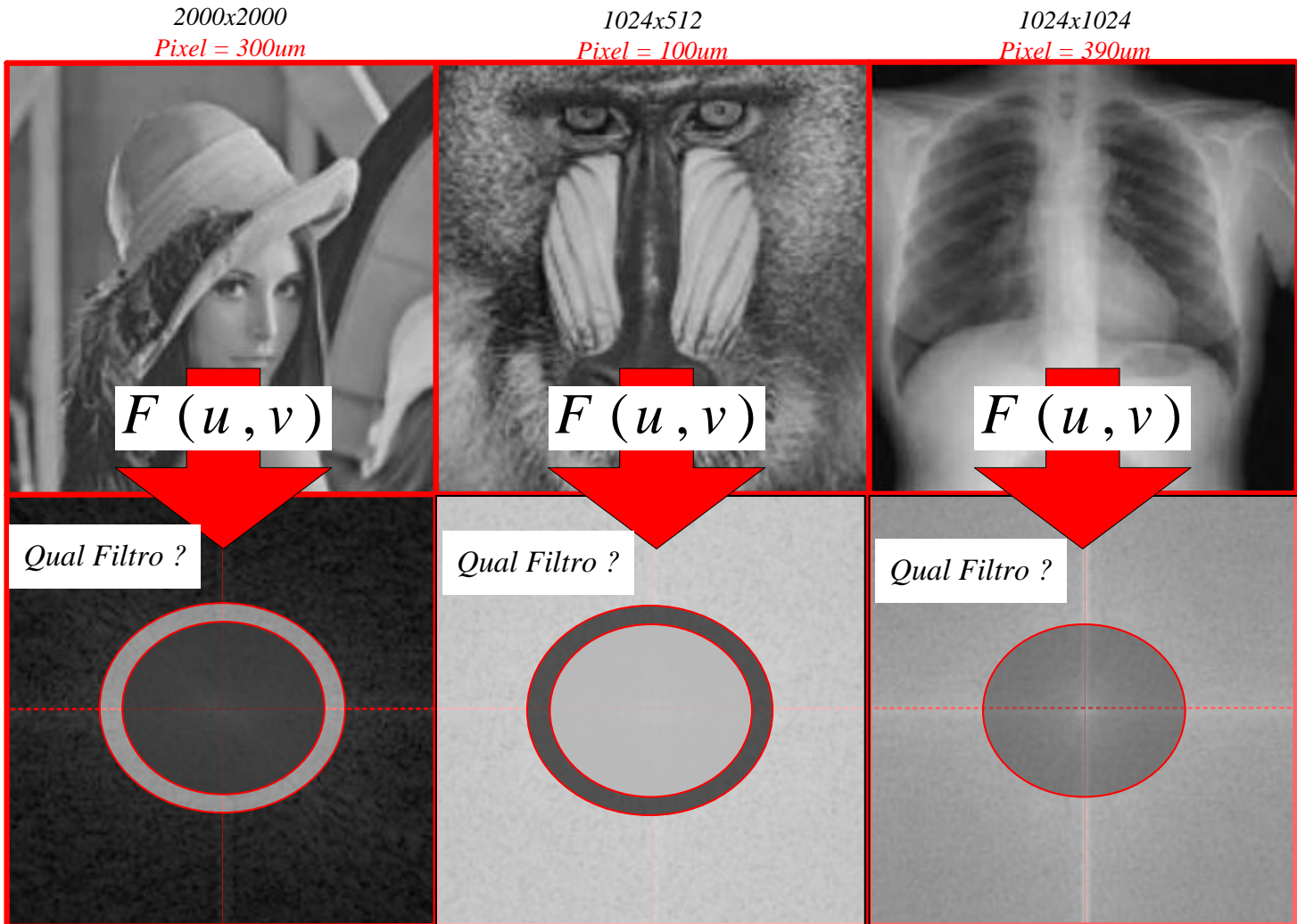
Filtragem 2D com filtro ideal - frequência de corte

Respostas



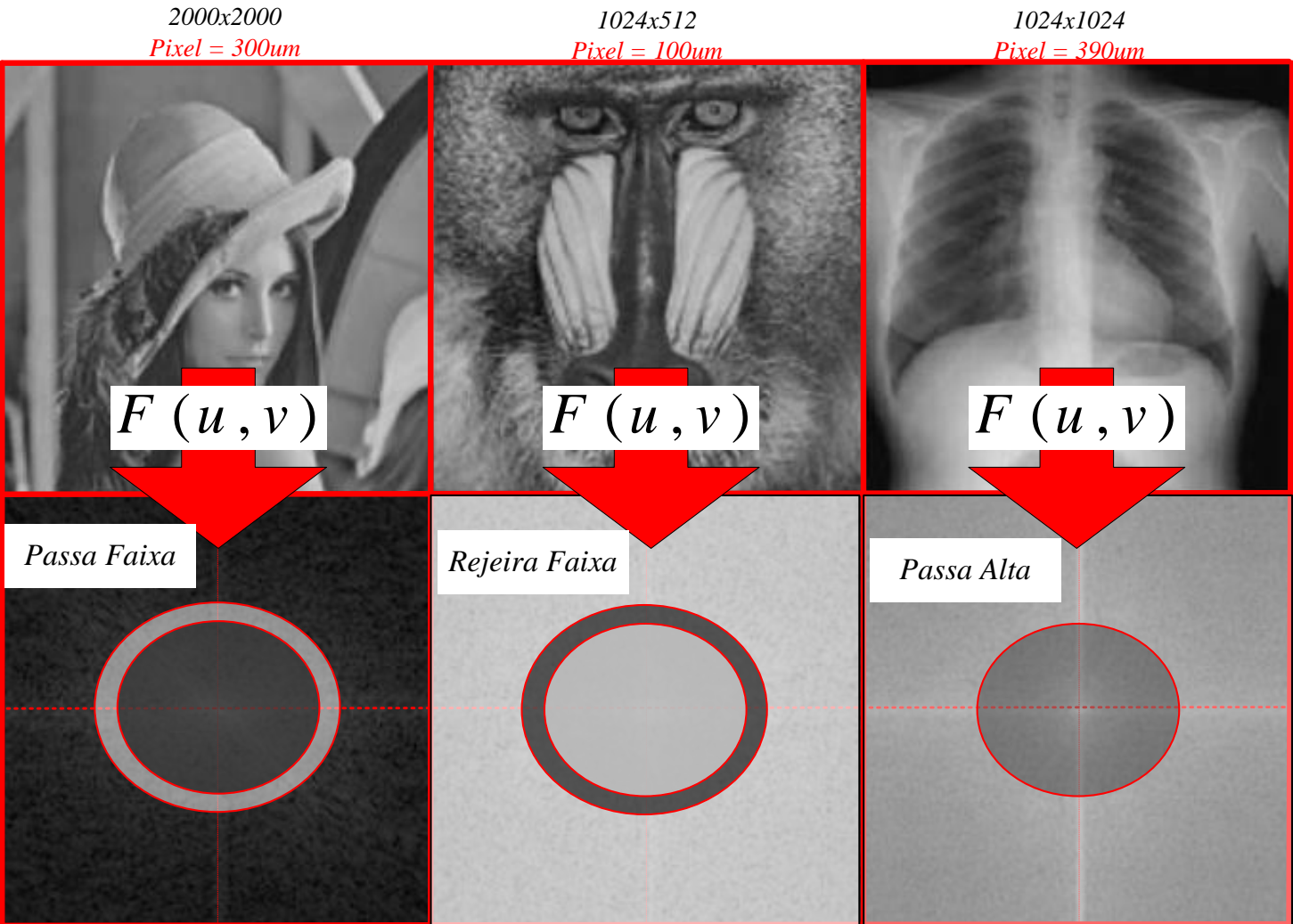
Filtragem 2D com filtro ideal - Tipos de Filtragens

Quais são os tipos de filtros abaixo e quais suas possíveis consequências nas imagens filtradas?



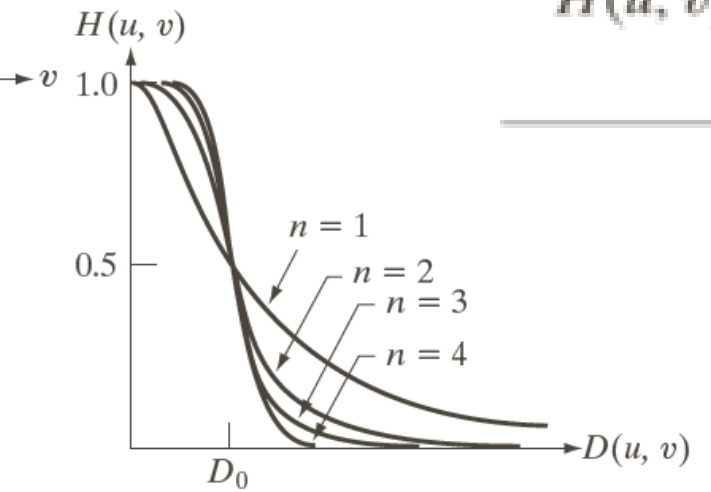
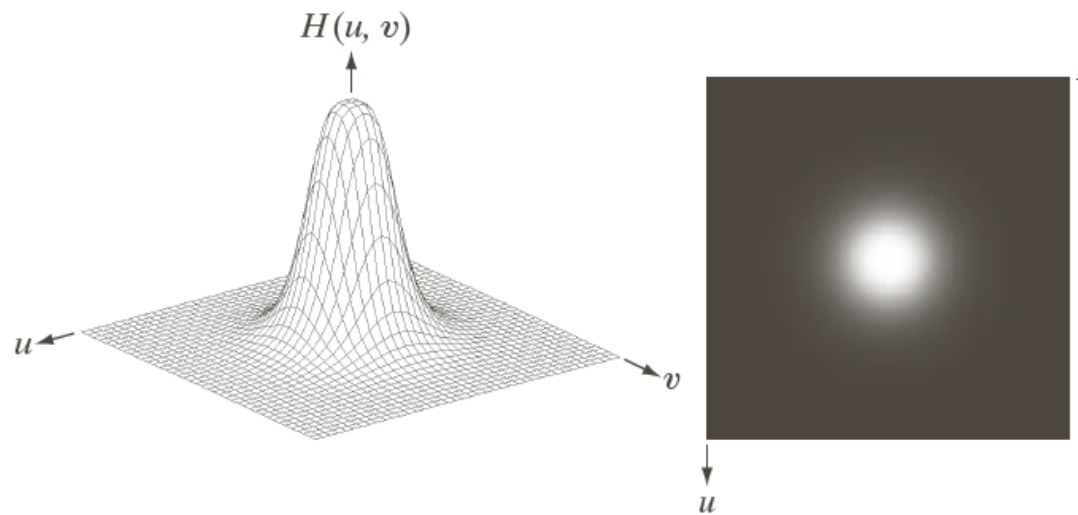
Filtragem 2D com filtro ideal - Tipos de Filtragens

Respostas



Filtro 2D Butterworth – Passa Baixa

- Banda passante plana.
- Queda proporcional ao numero de polos, n
- Energia na frequênciade corte D_0 , igual a metade da máxima



Butterworth

$$H(u, v) = \frac{1}{1 + [D(u, v)/D_0]^{2n}}$$

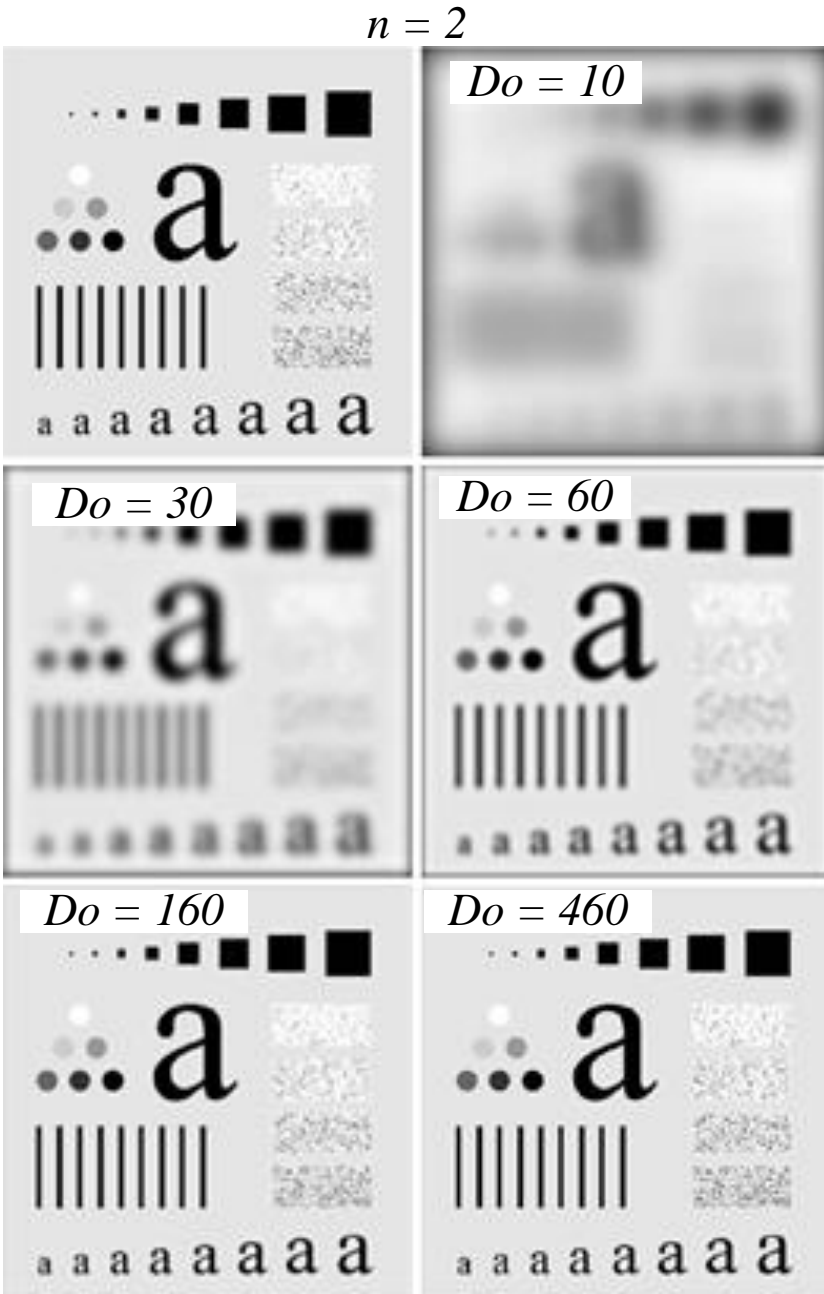
FIGURE 4.44 (a) Perspective plot of a Butterworth lowpass-filter transfer function. (b) Filter displayed as an image. (c) Filter radial cross sections of orders 1 through 4.

Filtro 2D Butterworth – Passa Baixa

- Resultados

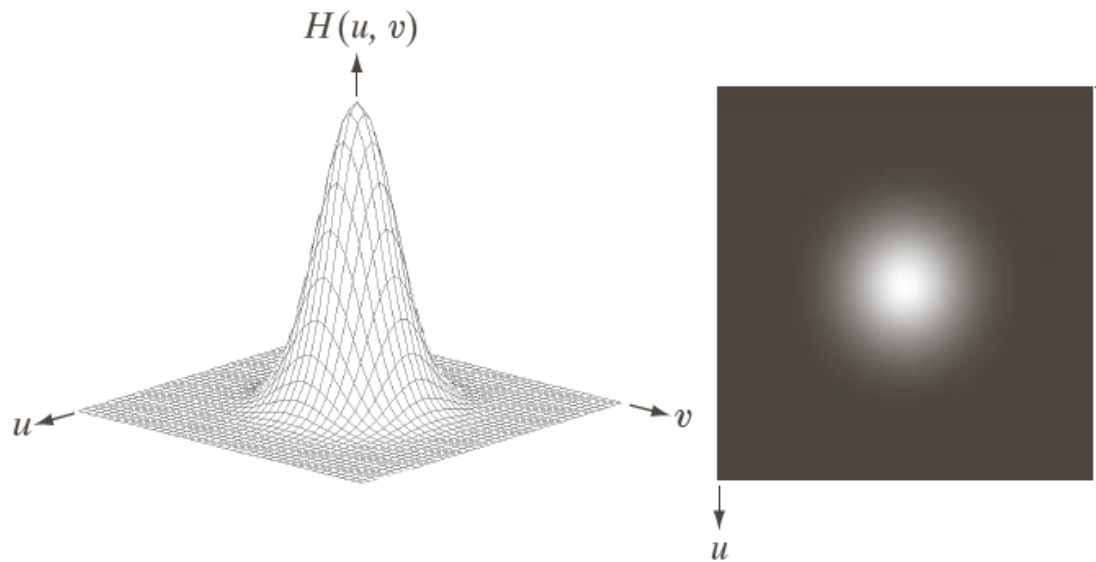
Butterworth

$$H(u, v) = \frac{1}{1 + [D(u, v)/D_0]^{2n}}$$

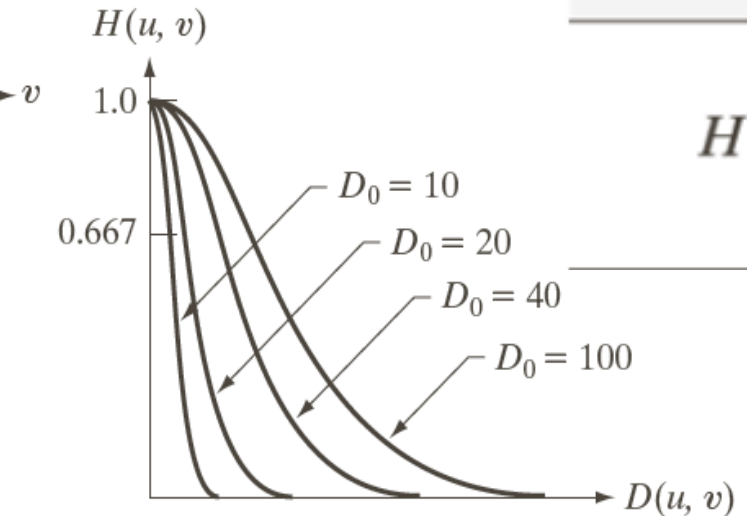


Filtro 2D Gaussiano – Passa Baixa

- Banda passante curva.
- Queda proporcional a frequência de corte **Do**, (desvio padrão)
- Energia na frequência de corte **Do**, igual a 0.667 da máxima (energia de 1 desvio padrão)



a b c



Gaussian

$$H(u, v) = e^{-D^2(u,v)/2D_0^2}$$

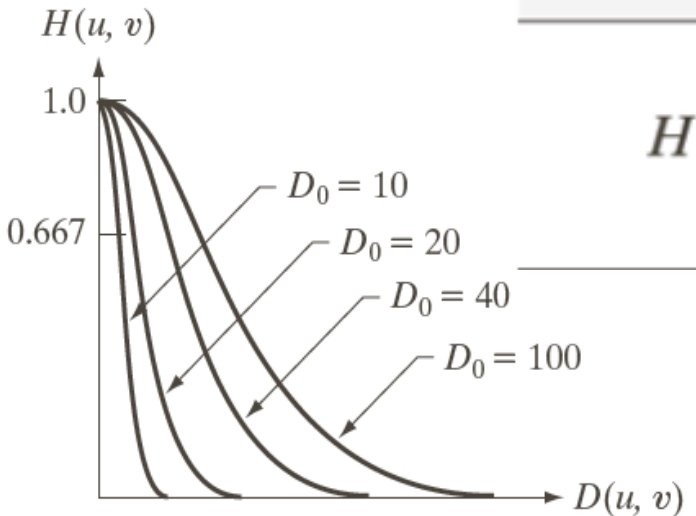


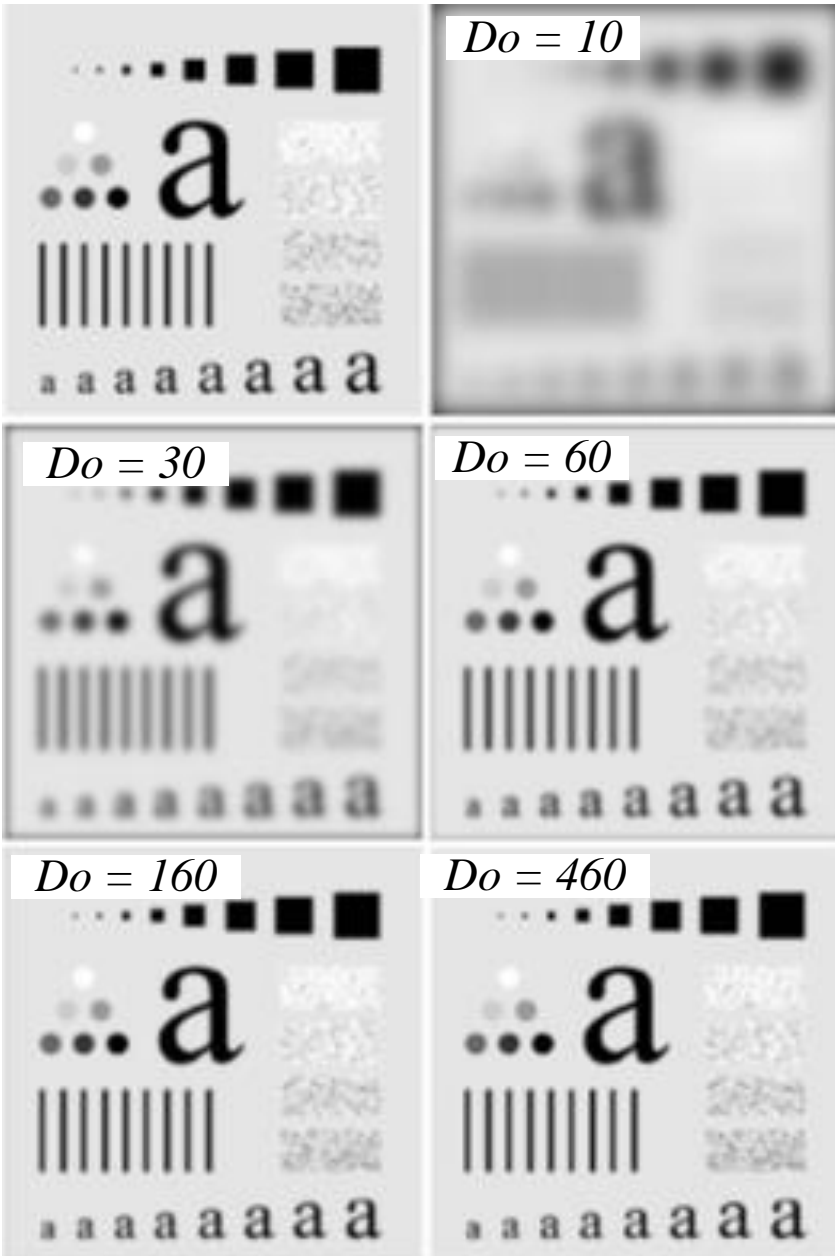
FIGURE 4.47 (a) Perspective plot of a GLPF transfer function. (b) Filter displayed as an image. (c) Filter radial cross sections for various values of D_0 .

Filtro 2D Gaussiano – Passa Baixa

- Resultado

Gaussian

$$H(u, v) = e^{-D^2(u,v)/2D_0^2}$$



Resultados – Passa Baixa

- Comparação entre os 3



Filtros 2D– Passa Alta

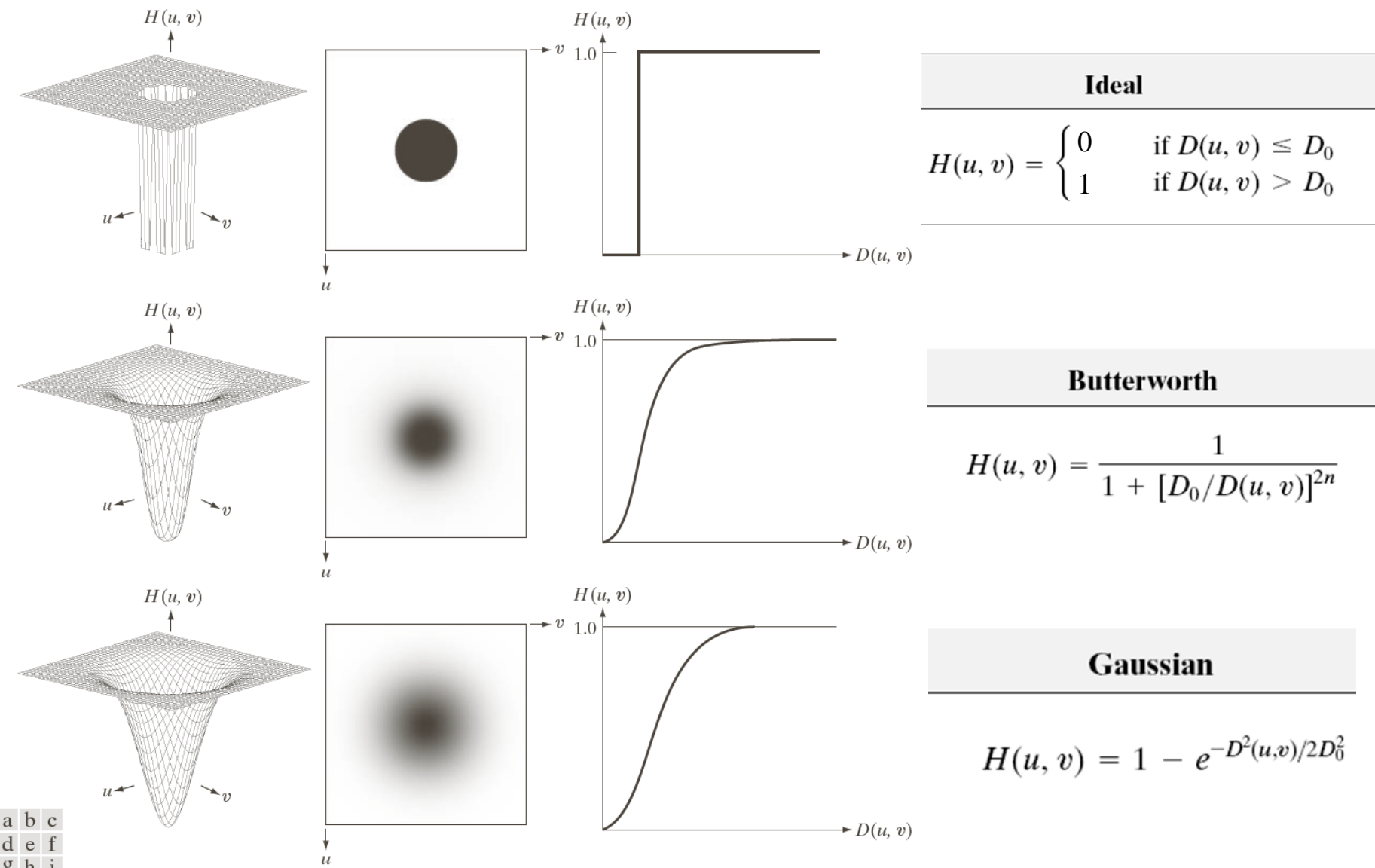
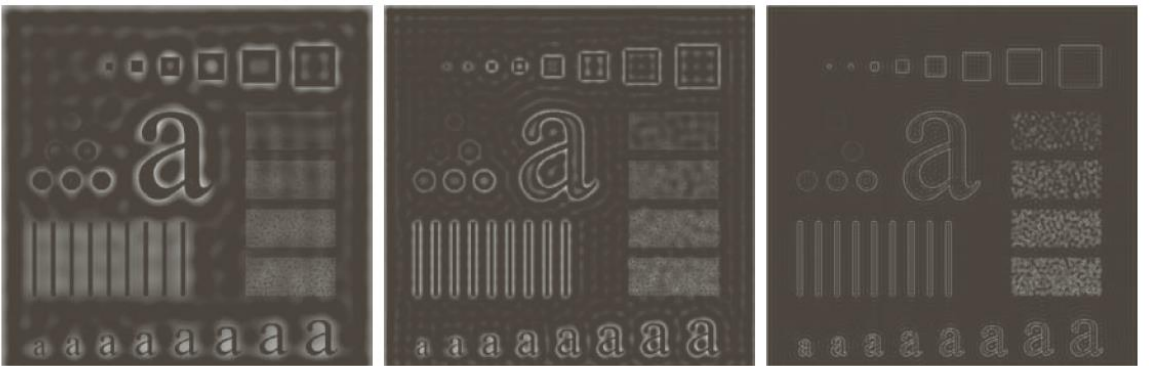


FIGURE 4.52 Top row: Perspective plot, image representation, and cross section of a typical ideal highpass filter. Middle and bottom rows: The same sequence for typical Butterworth and Gaussian highpass filters.

Filtros 2D– Passa Alta Resultados

Ideal

$$H(u, v) = \begin{cases} 0 & \text{if } D(u, v) \leq D_0 \\ 1 & \text{if } D(u, v) > D_0 \end{cases}$$



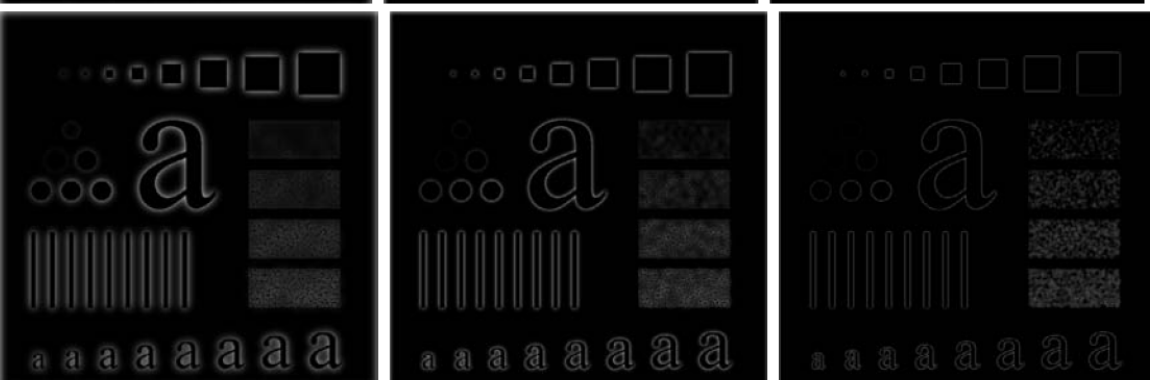
Butterworth

$$H(u, v) = \frac{1}{1 + [D_0/D(u, v)]^{2n}}$$



Gaussian

$$H(u, v) = 1 - e^{-D^2(u,v)/2D_0^2}$$



$|$
 $D_o = 30$

$|$
 $D_o = 60$

$|$
 $D_o = 160$

,

Filtros 2D– Passa Banda e Rejeita Banda

Ideal

Rejeita Banda
(H_{BR})

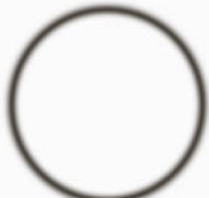
$$H(u, v) = \begin{cases} 0 & \text{if } D_0 - \frac{W}{2} \leq D \leq D_0 + \frac{W}{2} \\ 1 & \text{otherwise} \end{cases}$$

Butterworth

$$H(u, v) = \frac{1}{1 + \left[\frac{DW}{D^2 - D_0^2} \right]^{2n}}$$

Rejeita Banda
(H_{BR})

Rejeita Banda (H_{BR})



Gaussian

Rejeita Banda
(H_{BR})

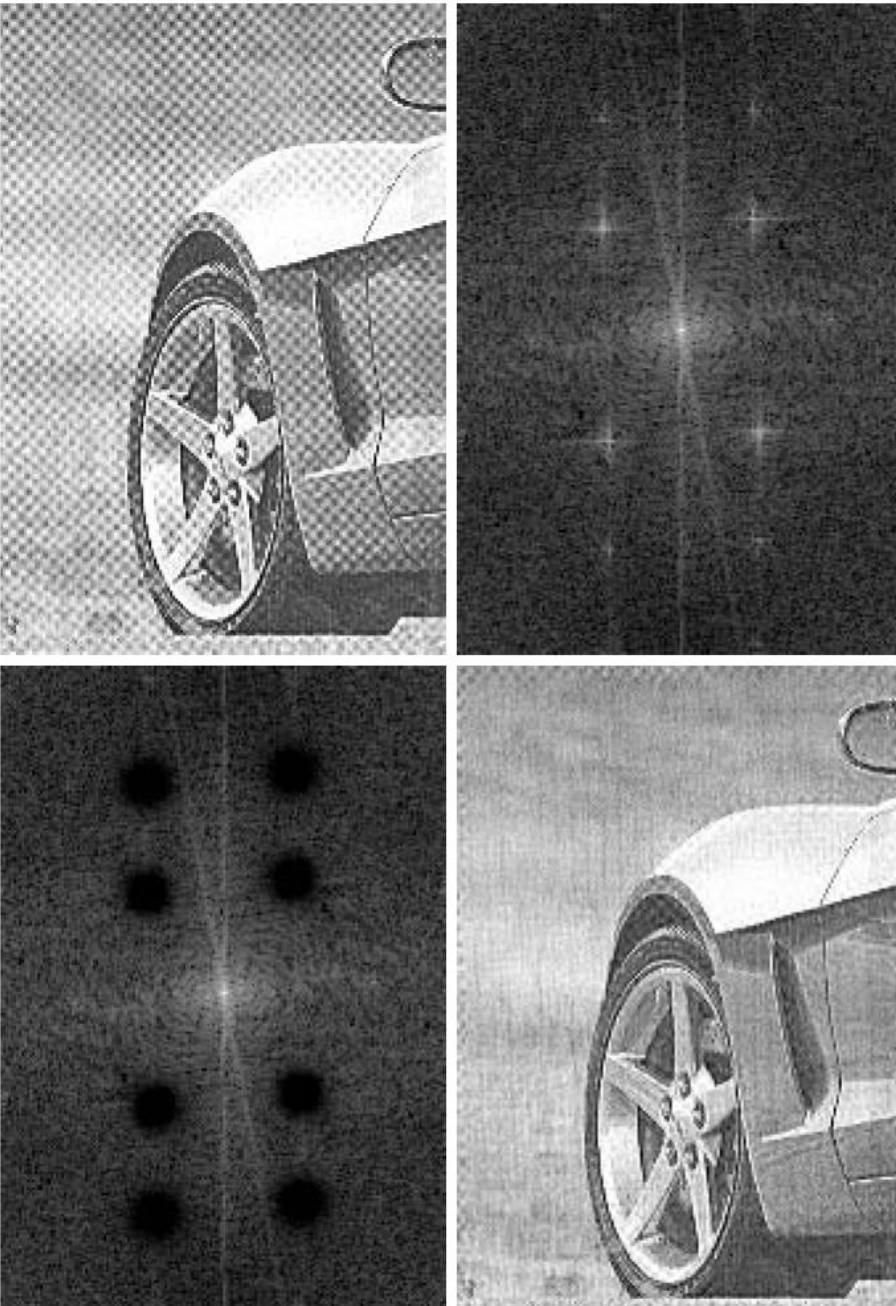
$$H(u, v) = 1 - e^{-\left[\frac{D^2 - D_0^2}{DW}\right]^2}$$

Passa Banda ($H_{BP}=1-H_{BR}$)



Bandreject filters. W is the width of the band, D is the distance $D(u, v)$ from the center of the filter, D_0 is the cutoff frequency, and n is the order of the Butterworth filter. We show D instead of $D(u, v)$ to simplify the notation in the table.

Filtros 2D– Filtro Notch



a b
c d

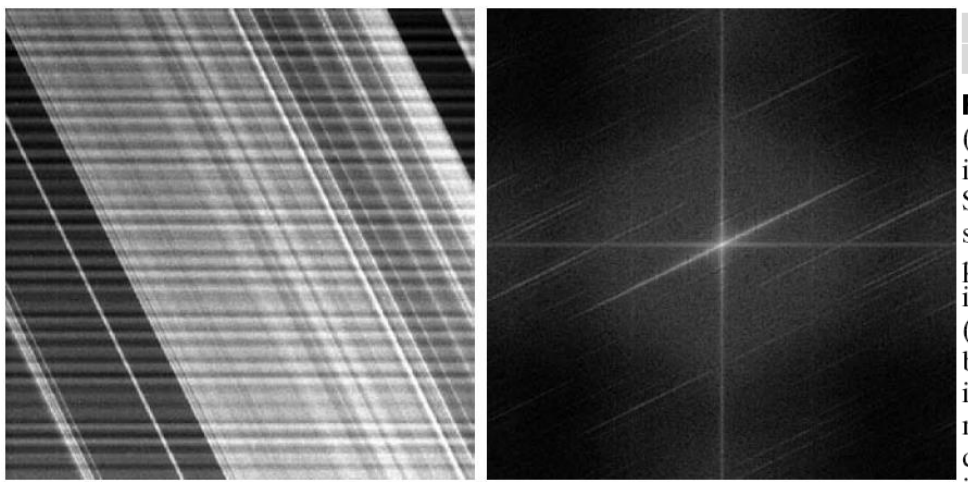
FIGURE 4.64

- (a) Sampled newspaper image showing a moiré pattern.
- (b) Spectrum.
- (c) Butterworth notch reject filter multiplied by the Fourier transform.
- (d) Filtered image.

- Equação no Livro pg 193

Filtros 2D– Filtro Notch

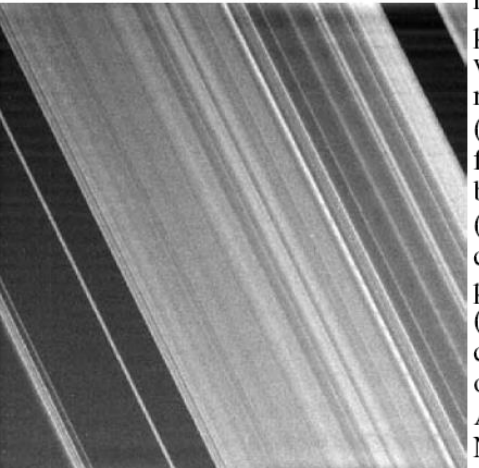
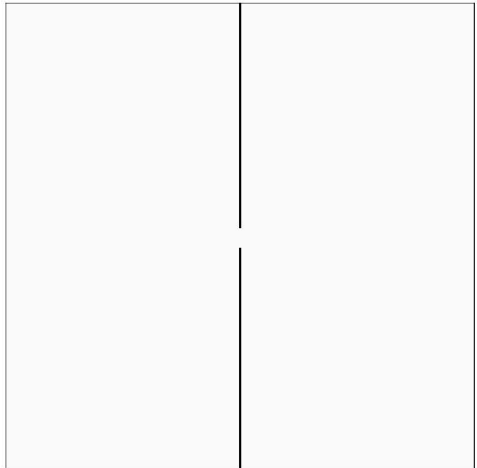
- Equação no Livro Gonzales pg 193



a b
c d

FIGURE 4.65

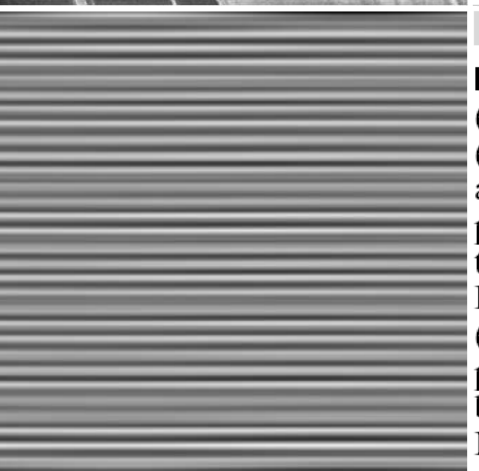
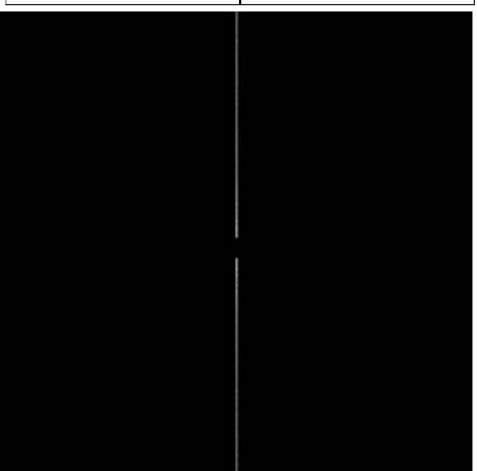
(a) 674×674 image of the Saturn rings showing nearly periodic interference.
 (b) Spectrum: The bursts of energy in the vertical axis near the origin correspond to the interference pattern.
 (c) A vertical notch reject filter.
 (d) Result of filtering. The thin black border in (c) was added for clarity; it is not part of the data.
 (Original image courtesy of Dr. Robert A. West, NASA/JPL.)



a b

FIGURE 4.66

(a) Result (spectrum) of applying a notch pass filter to the DFT of Fig. 4.65(a).
 (b) Spatial pattern obtained by computing the IDFT of (a).



Referências



Lab06